

# Ойлерові цикли

Дискретна математика



Лекція 27

## Лекція 27: Ойлерові цикли

Нагадаємо, що цикл зв'язного графа  $G$ , який містить всі ребра графа  $G$  без повторень, називається **ойлеровим**.

Негативна відповідь на головоломку про Кьонігсберські мости (див. лекцію 25) випливає з такої теореми Ойлера.

### Теорема 3.3.1

Граф містить ойлеров цикл тоді і тільки тоді, коли він зв'язний і степені всіх його вершин — парні.

**Доведення.** Якщо граф ойлеров, то він зв'язний і при обході ойлерового циклу вхід і вихід у чергову вершину дає дві одиниці в її степінь, оскільки ребра графа не повторюються. Позаяк обходяться всі ребра графа, то степені всіх вершин графа — парні.

Тепер припустимо, що зв'язний граф  $G$  має парні степені вершин.

Зафіксуємо вершину  $x_0$  і перейдемо від неї до вершини  $x_1$  деяким ребром  $y_0$ , пофарбувавши його подумки в довільний колір. Оскільки степінь вершини  $x_1$  парний, то з вершини  $x_1$  рушимо у вершину  $x_2$  по непофарбованому ребру, пофарбувавши його після проходження.

Рухаючись так по непофарбованих ребрах, ми повинні повернутися до початкової вершини  $x_0$ , проходячи іншими вершинами, можливо, декілька разів, оскільки в протилежному випадку вершина  $x_i \neq x_0$ , з якої ми не можемо рухатися далі, мала б непарний степінь.

## Лекція 27: Ойлерові цикли

Нагадаємо, що цикл зв'язного графа  $G$ , який містить всі ребра графа  $G$  без повторень, називається **ойлеровим**.

Негативна відповідь на головоломку про Кьонігсберські мости (див. лекцію 25) випливає з такої теореми Ойлера.

### Теорема 3.3.1

Граф містить ойлеров цикл тоді і тільки тоді, коли він зв'язний і степені всіх його вершин — парні.

**Доведення.** Якщо граф ойлеров, то він зв'язний і при обході ойлерового циклу вхід і вихід у чергову вершину дає дві одиниці в її степінь, оскільки ребра графа не повторюються. Позаяк обходяться всі ребра графа, то степені всіх вершин графа — парні.

Тепер припустимо, що зв'язний граф  $G$  має парні степені вершин.

Зафіксуємо вершину  $x_0$  і перейдемо від неї до вершини  $x_1$  деяким ребром  $y_0$ , пофарбувавши його подумки в довільний колір. Оскільки степінь вершини  $x_1$  парний, то з вершини  $x_1$  рушимо у вершину  $x_2$  по непофарбованому ребру, пофарбувавши його після проходження.

Рухаючись так по непофарбованих ребрах, ми повинні повернутися до початкової вершини  $x_0$ , проходячи іншими вершинами, можливо, декілька разів, оскільки в протилежному випадку вершина  $x_i \neq x_0$ , з якої ми не можемо рухатися далі, мала б непарний степінь.

## Лекція 27: Ойлерові цикли

Нагадаємо, що цикл зв'язного графа  $G$ , який містить всі ребра графа  $G$  без повторень, називається **ойлеровим**.

Негативна відповідь на головоломку про Кьонігсберські мости (див. лекцію 25) випливає з такої теореми Ойлера.

### Теорема 3.3.1

Граф містить ойлеров цикл тоді і тільки тоді, коли він зв'язний і степені всіх його вершин — парні.

**Доведення.** Якщо граф ойлеров, то він зв'язний і при обході ойлерового циклу вхід і вихід у чергову вершину дає дві одиниці в її степінь, оскільки ребра графа не повторюються. Позаяк обходяться всі ребра графа, то степені всіх вершин графа — парні.

Тепер припустимо, що зв'язний граф  $G$  має парні степені вершин.

Зафіксуємо вершину  $x_0$  і перейдемо від неї до вершини  $x_1$  деяким ребром  $y_0$ , пофарбувавши його подумки в довільний колір. Оскільки степінь вершини  $x_1$  парний, то з вершини  $x_1$  рушимо у вершину  $x_2$  по непофарбованому ребру, пофарбувавши його після проходження.

Рухаючись так по непофарбованих ребрах, ми повинні повернутися до початкової вершини  $x_0$ , проходячи іншими вершинами, можливо, декілька разів, оскільки в протилежному випадку вершина  $x_i \neq x_0$ , з якої ми не можемо рухатися далі, мала б непарний степінь.

## Лекція 27: Ойлерові цикли

Нагадаємо, що цикл зв'язного графа  $G$ , який містить всі ребра графа  $G$  без повторень, називається **ойлеровим**.

Негативна відповідь на головоломку про Кьонігсберські мости (див. лекцію 25) випливає з такої теореми Ойлера.

### Теорема 3.3.1

Граф містить ойлеров цикл тоді і тільки тоді, коли він зв'язний і степені всіх його вершин — парні.

**Доведення.** Якщо граф ойлеров, то він зв'язний і при обході ойлерового циклу вхід і вихід у чергову вершину дає дві одиниці в її степінь, оскільки ребра графа не повторюються. Позаяк обходяться всі ребра графа, то степені всіх вершин графа — парні.

Тепер припустимо, що зв'язний граф  $G$  має парні степені вершин.

Зафіксуємо вершину  $x_0$  і перейдемо від неї до вершини  $x_1$  деяким ребром  $y_0$ , пофарбувавши його подумки в довільний колір. Оскільки степінь вершини  $x_1$  парний, то з вершини  $x_1$  рушимо у вершину  $x_2$  по непофарбованому ребру, пофарбувавши його після проходження.

Рухаючись так по непофарбованих ребрах, ми повинні повернутися до початкової вершини  $x_0$ , проходячи іншими вершинами, можливо, декілька разів, оскільки в протилежному випадку вершина  $x_i \neq x_0$ , з якої ми не можемо рухатися далі, мала б непарний степінь.

## Лекція 27: Ойлерові цикли

Нагадаємо, що цикл зв'язного графа  $G$ , який містить всі ребра графа  $G$  без повторень, називається **ойлеровим**.

Негативна відповідь на головоломку про Кьонігсберські мости (див. лекцію 25) випливає з такої теореми Ойлера.

### Теорема 3.3.1

Граф містить ойлерові цикл тоді і тільки тоді, коли він зв'язний і степені всіх його вершин — парні.

**Доведення.** Якщо граф ойлеров, то він зв'язний і при обході ойлерового циклу вхід і вихід у чергову вершину дає дві одиниці в її степінь, оскільки ребра графа не повторюються. Позаяк обходяться всі ребра графа, то степені всіх вершин графа — парні.

Тепер припустимо, що зв'язний граф  $G$  має парні степені вершин.

Зафіксуємо вершину  $x_0$  і перейдемо від неї до вершини  $x_1$  деяким ребром  $y_0$ , пофарбувавши його подумки в довільний колір. Оскільки степінь вершини  $x_1$  парний, то з вершини  $x_1$  рушимо у вершину  $x_2$  по непофарбованому ребру, пофарбувавши його після проходження.

Рухаючись так по непофарбованих ребрах, ми повинні повернутися до початкової вершини  $x_0$ , проходячи іншими вершинами, можливо, декілька разів, оскільки в протилежному випадку вершина  $x_i \neq x_0$ , з якої ми не можемо рухатися далі, мала б непарний степінь.

## Лекція 27: Ойлерові цикли

Нагадаємо, що цикл зв'язного графа  $G$ , який містить всі ребра графа  $G$  без повторень, називається **ойлеровим**.

Негативна відповідь на головоломку про Кьонігсберські мости (див. лекцію 25) випливає з такої теореми Ойлера.

### Теорема 3.3.1

Граф містить ойлерові цикл тоді і тільки тоді, коли він зв'язний і степені всіх його вершин — парні.

**Доведення.** Якщо граф ойлеров, то він зв'язний і при обході ойлерового циклу вхід і вихід у чергову вершину дає дві одиниці в її степінь, оскільки ребра графа не повторюються. Позаяк обходяться всі ребра графа, то степені всіх вершин графа — парні.

Тепер припустимо, що зв'язний граф  $G$  має парні степені вершин.

Зафіксуємо вершину  $x_0$  і перейдемо від неї до вершини  $x_1$  деяким ребром  $y_0$ , пофарбувавши його подумки в довільний колір. Оскільки степінь вершини  $x_1$  парний, то з вершини  $x_1$  рушимо у вершину  $x_2$  по непофарбованому ребру, пофарбувавши його після проходження.

Рухаючись так по непофарбованих ребрах, ми повинні повернутися до початкової вершини  $x_0$ , проходячи іншими вершинами, можливо, декілька разів, оскільки в протилежному випадку вершина  $x_i \neq x_0$ , з якої ми не можемо рухатися далі, мала б непарний степінь.

## Лекція 27: Ойлерові цикли

Нагадаємо, що цикл зв'язного графа  $G$ , який містить всі ребра графа  $G$  без повторень, називається **ойлеровим**.

Негативна відповідь на головоломку про Кьонігсберські мости (див. лекцію 25) випливає з такої теореми Ойлера.

### Теорема 3.3.1

Граф містить ойлерові цикл тоді і тільки тоді, коли він зв'язний і степені всіх його вершин — парні.

**Доведення.** Якщо граф ойлеров, то він зв'язний і при обході ойлерового циклу вхід і вихід у чергову вершину дає дві одиниці в її степінь, оскільки ребра графа не повторюються. Позаяк обходяться всі ребра графа, то степені всіх вершин графа — парні.

Тепер припустимо, що зв'язний граф  $G$  має парні степені вершин.

Зафіксуємо вершину  $x_0$  і перейдемо від неї до вершини  $x_1$  деяким ребром  $y_0$ , пофарбувавши його подумки в довільний колір. Оскільки степінь вершини  $x_1$  парний, то з вершини  $x_1$  рушимо у вершину  $x_2$  по непофарбованому ребру, пофарбувавши його після проходження.

Рухаючись так по непофарбованих ребрах, ми повинні повернутися до початкової вершини  $x_0$ , проходячи іншими вершинами, можливо, декілька разів, оскільки в протилежному випадку вершина  $x_i \neq x_0$ , з якої ми не можемо рухатися далі, мала б непарний степінь.

## Лекція 27: Ойлерові цикли

Нагадаємо, що цикл зв'язного графа  $G$ , який містить всі ребра графа  $G$  без повторень, називається **ойлеровим**.

Негативна відповідь на головоломку про Кьонігсберські мости (див. лекцію 25) випливає з такої теореми Ойлера.

### Теорема 3.3.1

Граф містить ойлерові цикл тоді і тільки тоді, коли він зв'язний і степені всіх його вершин — парні.

**Доведення.** Якщо граф ойлерові, то він зв'язний і при обході ойлерового циклу вхід і вихід у чергову вершину дає дві одиниці в її степінь, оскільки ребра графа не повторюються. Позаяк обходяться всі ребра графа, то степені всіх вершин графа — парні.

Тепер припустимо, що зв'язний граф  $G$  має парні степені вершин.

Зафіксуємо вершину  $x_0$  і перейдемо від неї до вершини  $x_1$  деяким ребром  $y_0$ , пофарбувавши його подумки в довільний колір. Оскільки степінь вершини  $x_1$  парний, то з вершини  $x_1$  рушимо у вершину  $x_2$  по непофарбованому ребру, пофарбувавши його після проходження.

Рухаючись так по непофарбованих ребрах, ми повинні повернутися до початкової вершини  $x_0$ , проходячи іншими вершинами, можливо, декілька разів, оскільки в протилежному випадку вершина  $x_i \neq x_0$ , з якої ми не можемо рухатися далі, мала б непарний степінь.

## Лекція 27: Ойлерові цикли

Нагадаємо, що цикл зв'язного графа  $G$ , який містить всі ребра графа  $G$  без повторень, називається **ойлеровим**.

Негативна відповідь на головоломку про Кьонігсберські мости (див. лекцію 25) випливає з такої теореми Ойлера.

### Теорема 3.3.1

Граф містить ойлерові цикл тоді і тільки тоді, коли він зв'язний і степені всіх його вершин — парні.

**Доведення.** Якщо граф ойлеров, то він зв'язний і при обході ойлерового циклу вхід і вихід у чергову вершину дає дві одиниці в її степінь, оскільки ребра графа не повторюються. Позаяк обходяться всі ребра графа, то степені всіх вершин графа — парні.

Тепер припустимо, що зв'язний граф  $G$  має парні степені вершин.

Зафіксуємо вершину  $x_0$  і перейдемо від неї до вершини  $x_1$  деяким ребром  $y_0$ , пофарбувавши його подумки в довільний колір. Оскільки степінь вершини  $x_1$  парний, то з вершини  $x_1$  рушимо у вершину  $x_2$  по непофарбованому ребру, пофарбувавши його після проходження.

Рухаючись так по непофарбованих ребрах, ми повинні повернутися до початкової вершини  $x_0$ , проходячи іншими вершинами, можливо, декілька разів, оскільки в протилежному випадку вершина  $x_i \neq x_0$ , з якої ми не можемо рухатися далі, мала б непарний степінь.

## Лекція 27: Ойлерові цикли

Нагадаємо, що цикл зв'язного графа  $G$ , який містить всі ребра графа  $G$  без повторень, називається **ойлеровим**.

Негативна відповідь на головоломку про Кьонігсберські мости (див. лекцію 25) випливає з такої теореми Ойлера.

### Теорема 3.3.1

Граф містить ойлерові цикл тоді і тільки тоді, коли він зв'язний і степені всіх його вершин — парні.

**Доведення.** Якщо граф ойлеров, то він зв'язний і при обході ойлерового циклу вхід і вихід у чергову вершину дає дві одиниці в її степінь, оскільки ребра графа не повторюються. Позаяк обходяться всі ребра графа, то степені всіх вершин графа — парні.

Тепер припустимо, що зв'язний граф  $G$  має парні степені вершин.

Зафіксуємо вершину  $x_0$  і перейдемо від неї до вершини  $x_1$  деяким ребром  $y_0$ , пофарбувавши його подумки в довільний колір. Оскільки степінь вершини  $x_1$  парний, то з вершини  $x_1$  рушимо у вершину  $x_2$  по непофарбованому ребру, пофарбувавши його після проходження.

Рухаючись так по непофарбованих ребрах, ми повинні повернутися до початкової вершини  $x_0$ , проходячи іншими вершинами, можливо, декілька разів, оскільки в протилежному випадку вершина  $x_i \neq x_0$ , з якої ми не можемо рухатися далі, мала б непарний степінь.

## Лекція 27: Ойлерові цикли

Нагадаємо, що цикл зв'язного графа  $G$ , який містить всі ребра графа  $G$  без повторень, називається **ойлеровим**.

Негативна відповідь на головоломку про Кьонігсберські мости (див. лекцію 25) випливає з такої теореми Ойлера.

### Теорема 3.3.1

Граф містить ойлерові цикл тоді і тільки тоді, коли він зв'язний і степені всіх його вершин — парні.

**Доведення.** Якщо граф ойлеров, то він зв'язний і при обході ойлерового циклу вхід і вихід у чергову вершину дає дві одиниці в її степінь, оскільки ребра графа не повторюються. Позаяк обходяться всі ребра графа, то степені всіх вершин графа — парні.

Тепер припустимо, що зв'язний граф  $G$  має парні степені вершин.

Зафіксуємо вершину  $x_0$  і перейдемо від неї до вершини  $x_1$  деяким ребром  $y_0$ , пофарбувавши його подумки в довільний колір. Оскільки степінь вершини  $x_1$  парний, то з вершини  $x_1$  рушимо у вершину  $x_2$  по непофарбованому ребру, пофарбувавши його після проходження.

Рухаючись так по непофарбованих ребрах, ми повинні повернутися до початкової вершини  $x_0$ , проходячи іншими вершинами, можливо, декілька разів, оскільки в протилежному випадку вершина  $x_i \neq x_0$ , з якої ми не можемо рухатися далі, мала б непарний степінь.

## Лекція 27: Ойлерові цикли

Нагадаємо, що цикл зв'язного графа  $G$ , який містить всі ребра графа  $G$  без повторень, називається **ойлеровим**.

Негативна відповідь на головоломку про Кьонігсберські мости (див. лекцію 25) випливає з такої теореми Ойлера.

### Теорема 3.3.1

Граф містить ойлерові цикл тоді і тільки тоді, коли він зв'язний і степені всіх його вершин — парні.

**Доведення.** Якщо граф ойлеров, то він зв'язний і при обході ойлерового циклу вхід і вихід у чергову вершину дає дві одиниці в її степінь, оскільки ребра графа не повторюються. Позаяк обходяться всі ребра графа, то степені всіх вершин графа — парні.

Тепер припустимо, що зв'язний граф  $G$  має парні степені вершин.

Зафіксуємо вершину  $x_0$  і перейдемо від неї до вершини  $x_1$  деяким ребром  $y_0$ , пофарбувавши його подумки в довільний колір. Оскільки степінь вершини  $x_1$  парний, то з вершини  $x_1$  рушимо у вершину  $x_2$  по непофарбованому ребру, пофарбувавши його після проходження.

Рухаючись так по непофарбованих ребрах, ми повинні повернутися до початкової вершини  $x_0$ , проходячи іншими вершинами, можливо, декілька разів, оскільки в протилежному випадку вершина  $x_i \neq x_0$ , з якої ми не можемо рухатися далі, мала б непарний степінь.

## Лекція 27: Ойлерові цикли

Нагадаємо, що цикл зв'язного графа  $G$ , який містить всі ребра графа  $G$  без повторень, називається **ойлеровим**.

Негативна відповідь на головоломку про Кьонігсберські мости (див. лекцію 25) випливає з такої теореми Ойлера.

### Теорема 3.3.1

Граф містить ойлерові цикл тоді і тільки тоді, коли він зв'язний і степені всіх його вершин — парні.

**Доведення.** Якщо граф ойлеров, то він зв'язний і при обході ойлерового циклу вхід і вихід у чергову вершину дає дві одиниці в її степінь, оскільки ребра графа не повторюються. Позаяк обходяться всі ребра графа, то степені всіх вершин графа — парні.

Тепер припустимо, що зв'язний граф  $G$  має парні степені вершин.

Зафіксуємо вершину  $x_0$  і перейдемо від неї до вершини  $x_1$  деяким ребром  $y_0$ , пофарбувавши його подумки в довільний колір. Оскільки степінь вершини  $x_1$  парний, то з вершини  $x_1$  рушимо у вершину  $x_2$  по непофарбованому ребру, пофарбувавши його після проходження.

Рухаючись так по непофарбованих ребрах, ми повинні повернутися до початкової вершини  $x_0$ , проходячи іншими вершинами, можливо, декілька разів, оскільки в протилежному випадку вершина  $x_i \neq x_0$ , з якої ми не можемо рухатися далі, мала б непарний степінь.

## Лекція 27: Ойлерові цикли

Нагадаємо, що цикл зв'язного графа  $G$ , який містить всі ребра графа  $G$  без повторень, називається **ойлеровим**.

Негативна відповідь на головоломку про Кьонігсберські мости (див. лекцію 25) випливає з такої теореми Ойлера.

### Теорема 3.3.1

Граф містить ойлерові цикл тоді і тільки тоді, коли він зв'язний і степені всіх його вершин — парні.

**Доведення.** Якщо граф ойлеров, то він зв'язний і при обході ойлерового циклу вхід і вихід у чергову вершину дає дві одиниці в її степінь, оскільки ребра графа не повторюються. Позаяк обходяться всі ребра графа, то степені всіх вершин графа — парні.

Тепер припустимо, що зв'язний граф  $G$  має парні степені вершин.

Зафіксуємо вершину  $x_0$  і перейдемо від неї до вершини  $x_1$  деяким ребром  $y_0$ , пофарбувавши його подумки в довільний колір. Оскільки степінь вершини  $x_1$  парний, то з вершини  $x_1$  рушимо у вершину  $x_2$  по непофарбованому ребру, пофарбувавши його після проходження.

Рухаючись так по непофарбованих ребрах, ми повинні повернутися до початкової вершини  $x_0$ , проходячи іншими вершинами, можливо, декілька разів, оскільки в протилежному випадку вершина  $x_i \neq x_0$ , з якої ми не можемо рухатися далі, мала б непарний степінь.

## Лекція 27: Ойлерові цикли

Нагадаємо, що цикл зв'язного графа  $G$ , який містить всі ребра графа  $G$  без повторень, називається **ойлеровим**.

Негативна відповідь на головоломку про Кьонігсберські мости (див. лекцію 25) випливає з такої теореми Ойлера.

### Теорема 3.3.1

Граф містить ойлерові цикл тоді і тільки тоді, коли він зв'язний і степені всіх його вершин — парні.

**Доведення.** Якщо граф ойлеров, то він зв'язний і при обході ойлерового циклу вхід і вихід у чергову вершину дає дві одиниці в її степінь, оскільки ребра графа не повторюються. Позаяк обходяться всі ребра графа, то степені всіх вершин графа — парні.

Тепер припустимо, що зв'язний граф  $G$  має парні степені вершин.

Зафіксуємо вершину  $x_0$  і перейдемо від неї до вершини  $x_1$  деяким ребром  $y_0$ , пофарбувавши його подумки в довільний колір. Оскільки степінь вершини  $x_1$  парний, то з вершини  $x_1$  рушимо у вершину  $x_2$  по непофарбованому ребру, пофарбувавши його після проходження.

Рухаючись так по непофарбованих ребрах, ми повинні повернутися до початкової вершини  $x_0$ , проходячи іншими вершинами, можливо, декілька разів, оскільки в протилежному випадку вершина  $x_i \neq x_0$ , з якої ми не можемо рухатися далі, мала б непарний степінь.

## Лекція 27: Ойлерові цикли

Нагадаємо, що цикл зв'язного графа  $G$ , який містить всі ребра графа  $G$  без повторень, називається **ойлеровим**.

Негативна відповідь на головоломку про Кьонігсберські мости (див. лекцію 25) випливає з такої теореми Ойлера.

### Теорема 3.3.1

Граф містить ойлерові цикл тоді і тільки тоді, коли він зв'язний і степені всіх його вершин — парні.

**Доведення.** Якщо граф ойлеров, то він зв'язний і при обході ойлерового циклу вхід і вихід у чергову вершину дає дві одиниці в її степінь, оскільки ребра графа не повторюються. Позаяк обходяться всі ребра графа, то степені всіх вершин графа — парні.

Тепер припустимо, що зв'язний граф  $G$  має парні степені вершин.

Зафіксуємо вершину  $x_0$  і перейдемо від неї до вершини  $x_1$  деяким ребром  $y_0$ , пофарбувавши його подумки в довільний колір. Оскільки степінь вершини  $x_1$  парний, то з вершини  $x_1$  рушимо у вершину  $x_2$  по непофарбованому ребру, пофарбувавши його після проходження.

Рухаючись так по непофарбованих ребрах, ми повинні повернутися до початкової вершини  $x_0$ , проходячи іншими вершинами, можливо, декілька разів, оскільки в протилежному випадку вершина  $x_i \neq x_0$ , з якої ми не можемо рухатися далі, мала б непарний степінь.

## Лекція 27: Ойлерові цикли

Нагадаємо, що цикл зв'язного графа  $G$ , який містить всі ребра графа  $G$  без повторень, називається **ойлеровим**.

Негативна відповідь на головоломку про Кьонігсберські мости (див. лекцію 25) випливає з такої теореми Ойлера.

### Теорема 3.3.1

Граф містить ойлерові цикл тоді і тільки тоді, коли він зв'язний і степені всіх його вершин — парні.

**Доведення.** Якщо граф ойлеров, то він зв'язний і при обході ойлерового циклу вхід і вихід у чергову вершину дає дві одиниці в її степінь, оскільки ребра графа не повторюються. Позаяк обходяться всі ребра графа, то степені всіх вершин графа — парні.

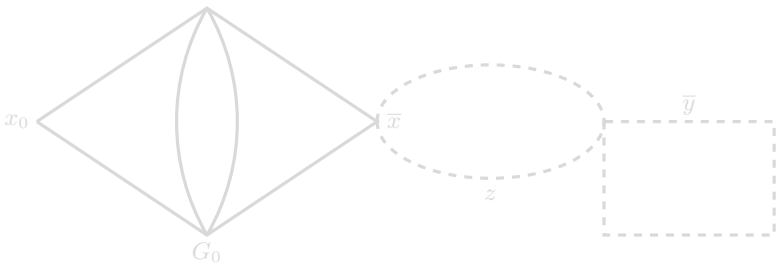
Тепер припустимо, що зв'язний граф  $G$  має парні степені вершин.

Зафіксуємо вершину  $x_0$  і перейдемо від неї до вершини  $x_1$  деяким ребром  $y_0$ , пофарбувавши його подумки в довільний колір. Оскільки степінь вершини  $x_1$  парний, то з вершини  $x_1$  рушимо у вершину  $x_2$  по непофарбованому ребру, пофарбувавши його після проходження.

Рухаючись так по непофарбованих ребрах, ми повинні повернутися до початкової вершини  $x_0$ , проходячи іншими вершинами, можливо, декілька разів, оскільки в протилежному випадку вершина  $x_i \neq x_0$ , з якої ми не можемо рухатися далі, мала б непарний степінь.

## Лекція 27: Ойлерові цикли

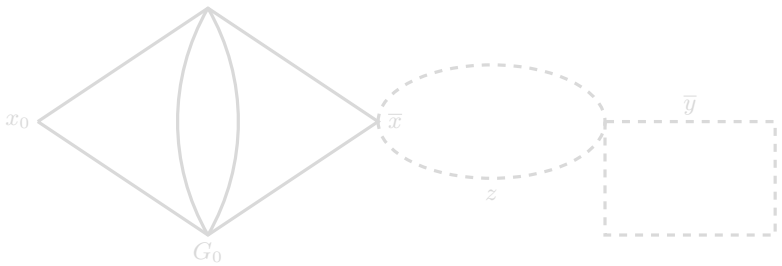
Повернувшись перший раз у вершину  $x_0$ , ми пофарбуємо граф  $G_0$ , який за побудовою є ойлеровим циклом. Якщо  $G_0 \neq G$ , то зі зв'язності графа  $G$  випливає, що існує хоча б одне непофарбоване ребро  $\bar{y}$ , яке з'єднується з підграфом  $G_0$  непофарбованим ланцюгом  $z$ , який, можливо, має нульову довжину (див. рис.).



Вилучимо з графа  $G$  пофарбовані ребра, внаслідок цього отримаємо граф з парними степенями вершин. Знайдемо вершину  $\bar{x}$  дотику ланцюга  $z \cup \bar{y}$  до підграфа  $G_0$ . Починаючи з вершини  $\bar{x}$ , можна виділити з непофарбованих ребер новий цикл  $G_1$ , що містить ланцюг  $z \cup \bar{y}$  і в поєднанні підграфом  $G_0$  також утворює ойлеровий цикл у графі  $G_1 \cup G_0$ . Нарощуючи вище описаним чином цикли, ми вичерпаємо весь скінчений граф  $G$  ойлеровим циклом.

## Лекція 27: Ойлерові цикли

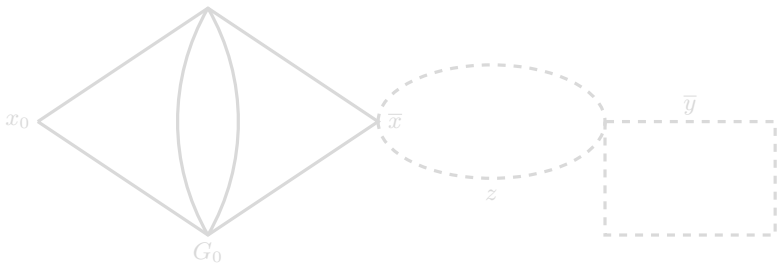
Повернувшись перший раз у вершину  $x_0$ , ми пофарбуємо граф  $G_0$ , який за побудовою є ойлеровим циклом. Якщо  $G_0 \neq G$ , то зі зв'язності графа  $G$  випливає, що існує хоча б одне непофарбоване ребро  $\bar{y}$ , яке з'єднується з підграфом  $G_0$  непофарбованим ланцюгом  $z$ , який, можливо, має нульову довжину (див. рис.).



Вилучимо з графа  $G$  пофарбовані ребра, внаслідок цього отримаємо граф з парними степенями вершин. Знайдемо вершину  $\bar{x}$  дотику ланцюга  $z \cup \bar{y}$  до підграфа  $G_0$ . Починаючи з вершини  $\bar{x}$ , можна виділити з непофарбованих ребер новий цикл  $G_1$ , що містить ланцюг  $z \cup \bar{y}$  і в поєднанні підграфом  $G_0$  також утворює ойлеровий цикл у графі  $G_1 \cup G_0$ . Нарощуючи вище описаним чином цикли, ми вичерпаємо весь скінчений граф  $G$  ойлеровим циклом. ■

## Лекція 27: Ойлерові цикли

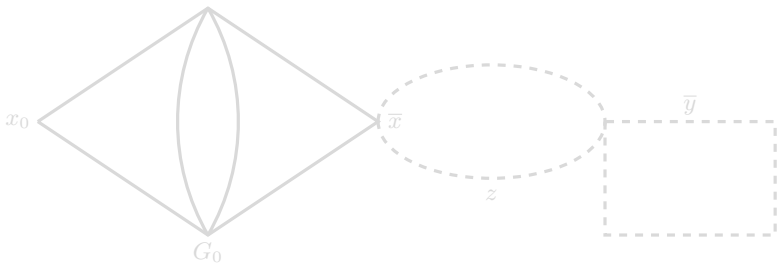
Повернувшись перший раз у вершину  $x_0$ , ми пофарбуємо граф  $G_0$ , який за побудовою є ойлеровим циклом. Якщо  $G_0 \neq G$ , то зі зв'язності графа  $G$  випливає, що існує хоча б одне непофарбоване ребро  $\bar{y}$ , яке з'єднується з підграфом  $G_0$  непофарбованим ланцюгом  $z$ , який, можливо, має нульову довжину (див. рис.).



Вилучимо з графа  $G$  пофарбовані ребра, внаслідок цього отримаємо граф з парними степенями вершин. Знайдемо вершину  $\bar{x}$  дотику ланцюга  $z \cup \bar{y}$  до підграфа  $G_0$ . Починаючи з вершини  $\bar{x}$ , можна виділити з непофарбованих ребер новий цикл  $G_1$ , що містить ланцюг  $z \cup \bar{y}$  і в поєднанні підграфом  $G_0$  також утворює ойлеровий цикл у графі  $G_1 \cup G_0$ . Нарощуючи вище описаним чином цикли, ми вичерпаємо весь скінчений граф  $G$  ойлеровим циклом.

## Лекція 27: Ойлерові цикли

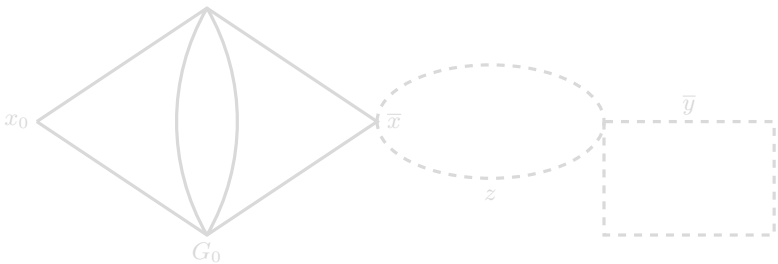
Повернувшись перший раз у вершину  $x_0$ , ми пофарбуємо граф  $G_0$ , який за побудовою є ойлеровим циклом. Якщо  $G_0 \neq G$ , то зі зв'язності графа  $G$  випливає, що існує хоча б одне непофарбоване ребро  $\bar{y}$ , яке з'єднується з підграфом  $G_0$  непофарбованим ланцюгом  $z$ , який, можливо, має нульову довжину (див. рис.).



Вилучимо з графа  $G$  пофарбовані ребра, внаслідок цього отримаємо граф з парними степенями вершин. Знайдемо вершину  $\bar{x}$  дотику ланцюга  $z \cup \bar{y}$  до підграфа  $G_0$ . Починаючи з вершини  $\bar{x}$ , можна виділити з непофарбованих ребер новий цикл  $G_1$ , що містить ланцюг  $z \cup \bar{y}$  і в поєднанні підграфом  $G_0$  також утворює ойлеровий цикл у графі  $G_1 \cup G_0$ . Нарощуючи вище описаним чином цикли, ми вичерпаємо весь скінчений граф  $G$  ойлеровим циклом.

## Лекція 27: Ойлерові цикли

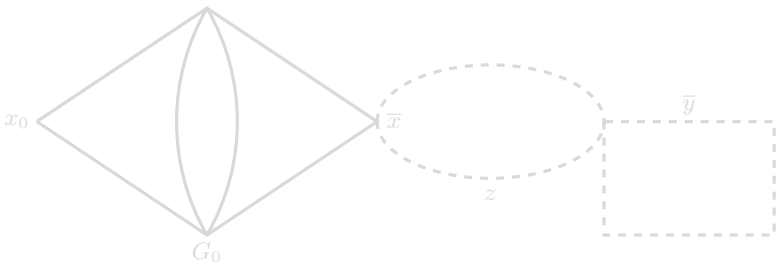
Повернувшись перший раз у вершину  $x_0$ , ми пофарбуємо граф  $G_0$ , який за побудовою є ойлеровим циклом. Якщо  $G_0 \neq G$ , то зі зв'язності графа  $G$  випливає, що існує хоча б одне непофарбоване ребро  $\bar{y}$ , яке з'єднується з підграфом  $G_0$  непофарбованим ланцюгом  $z$ , який, можливо, має нульову довжину (див. рис.).



Вилучимо з графа  $G$  пофарбовані ребра, внаслідок цього отримаємо граф з парними степенями вершин. Знайдемо вершину  $\bar{x}$  дотику ланцюга  $z \cup \bar{y}$  до підграфа  $G_0$ . Починаючи з вершини  $\bar{x}$ , можна виділити з непофарбованих ребер новий цикл  $G_1$ , що містить ланцюг  $z \cup \bar{y}$  і в поєднанні підграфом  $G_0$  також утворює ойлеровий цикл у графі  $G_1 \cup G_0$ . Нарощуючи вище описаним чином цикли, ми вичерпаємо весь скінчений граф  $G$  ойлеровим циклом. ■

## Лекція 27: Ойлерові цикли

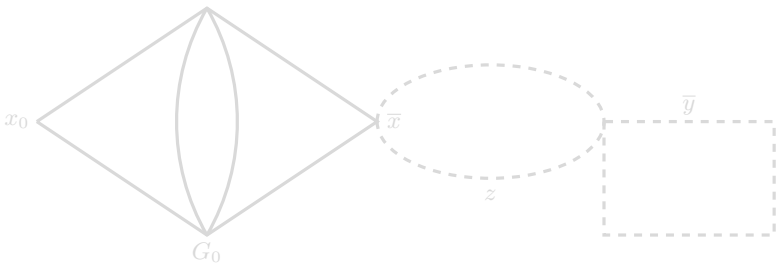
Повернувшись перший раз у вершину  $x_0$ , ми пофарбуємо граф  $G_0$ , який за побудовою є ойлеровим циклом. Якщо  $G_0 \neq G$ , то зі зв'язності графа  $G$  випливає, що існує хоча б одне непофарбоване ребро  $\bar{y}$ , яке з'єднується з підграфом  $G_0$  непофарбованим ланцюгом  $z$ , який, можливо, має нульову довжину (див. рис.).



Вилучимо з графа  $G$  пофарбовані ребра, внаслідок цього отримаємо граф з парними степенями вершин. Знайдемо вершину  $\bar{x}$  дотику ланцюга  $z \cup \bar{y}$  до підграфа  $G_0$ . Починаючи з вершини  $\bar{x}$ , можна виділити з непофарбованих ребер новий цикл  $G_1$ , що містить ланцюг  $z \cup \bar{y}$  і в поєднанні підграфом  $G_0$  також утворює ойлеровий цикл у графі  $G_1 \cup G_0$ . Нарощуючи вище описаним чином цикли, ми вичерпаємо весь скінчений граф  $G$  ойлеровим циклом.

## Лекція 27: Ойлерові цикли

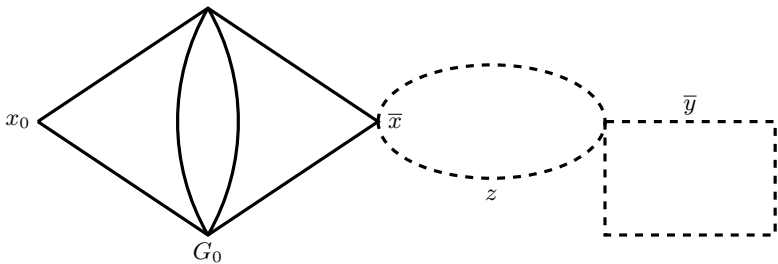
Повернувшись перший раз у вершину  $x_0$ , ми пофарбуємо граф  $G_0$ , який за побудовою є ойлеровим циклом. Якщо  $G_0 \neq G$ , то зі зв'язності графа  $G$  випливає, що існує хоча б одне непофарбоване ребро  $\bar{y}$ , яке з'єднується з підграфом  $G_0$  непофарбованим ланцюгом  $z$ , який, можливо, має нульову довжину (див. рис.).



Вилучимо з графа  $G$  пофарбовані ребра, внаслідок цього отримаємо граф з парними степенями вершин. Знайдемо вершину  $\bar{x}$  дотику ланцюга  $z \cup \bar{y}$  до підграфа  $G_0$ . Починаючи з вершини  $\bar{x}$ , можна виділити з непофарбованих ребер новий цикл  $G_1$ , що містить ланцюг  $z \cup \bar{y}$  і в поєднанні підграфом  $G_0$  також утворює ойлеровий цикл у графі  $G_1 \cup G_0$ . Нарощуючи вище описаним чином цикли, ми вичерпаємо весь скінчений граф  $G$  ойлеровим циклом. ■

## Лекція 27: Ойлерові цикли

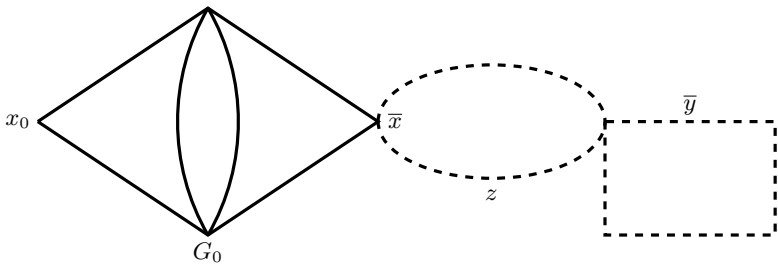
Повернувшись перший раз у вершину  $x_0$ , ми пофарбуємо граф  $G_0$ , який за побудовою є ойлеровим циклом. Якщо  $G_0 \neq G$ , то зі зв'язності графа  $G$  випливає, що існує хоча б одне непофарбоване ребро  $\bar{y}$ , яке з'єднується з підграфом  $G_0$  непофарбованим ланцюгом  $z$ , який, можливо, має нульову довжину (див. рис.).



Вилучимо з графа  $G$  пофарбовані ребра, внаслідок цього отримаємо граф з парними степенями вершин. Знайдемо вершину  $\bar{x}$  дотику ланцюга  $z \cup \bar{y}$  до підграфа  $G_0$ . Починаючи з вершини  $\bar{x}$ , можна виділити з непофарбованих ребер новий цикл  $G_1$ , що містить ланцюг  $z \cup \bar{y}$  і в поєднанні підграфом  $G_0$  також утворює ойлеровий цикл у графі  $G_1 \cup G_0$ . Нарощуючи вище описаним чином цикли, ми вичерпаємо весь скінчений граф  $G$  ойлеровим циклом. ■

## Лекція 27: Ойлерові цикли

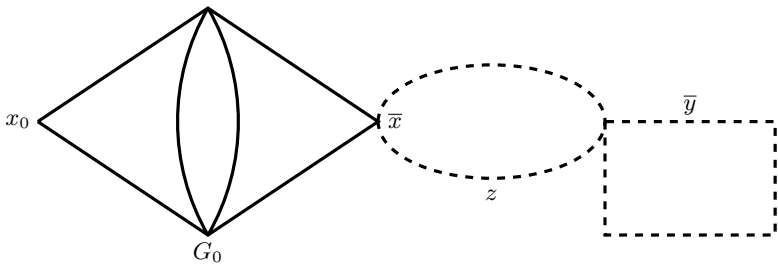
Повернувшись перший раз у вершину  $x_0$ , ми пофарбуємо граф  $G_0$ , який за побудовою є ойлеровим циклом. Якщо  $G_0 \neq G$ , то зі зв'язності графа  $G$  випливає, що існує хоча б одне непофарбоване ребро  $\bar{y}$ , яке з'єднується з підграфом  $G_0$  непофарбованим ланцюгом  $z$ , який, можливо, має нульову довжину (див. рис.).



Вилучимо з графа  $G$  пофарбовані ребра, внаслідок цього отримаємо граф з парними степенями вершин. Знайдемо вершину  $\bar{x}$  дотику ланцюга  $z \cup \bar{y}$  до підграфа  $G_0$ . Починаючи з вершини  $\bar{x}$ , можна виділити з непофарбованих ребер новий цикл  $G_1$ , що містить ланцюг  $z \cup \bar{y}$  і в поєднанні підграфом  $G_0$  також утворює ойлеровий цикл у графі  $G_1 \cup G_0$ . Нарощуючи вище описаним чином цикли, ми вичерпаємо весь скінчений граф  $G$  ойлеровим циклом.

## Лекція 27: Ойлерові цикли

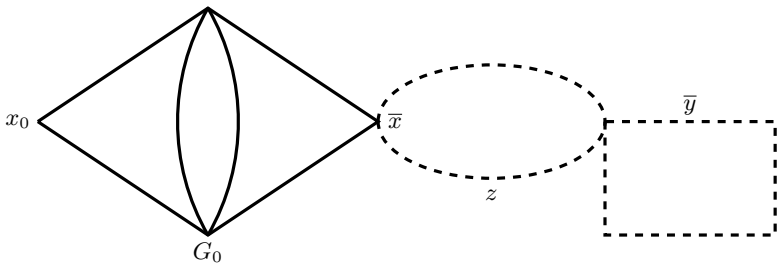
Повернувшись перший раз у вершину  $x_0$ , ми пофарбуємо граф  $G_0$ , який за побудовою є ойлеровим циклом. Якщо  $G_0 \neq G$ , то зі зв'язності графа  $G$  випливає, що існує хоча б одне непофарбоване ребро  $\bar{y}$ , яке з'єднується з підграфом  $G_0$  непофарбованим ланцюгом  $z$ , який, можливо, має нульову довжину (див. рис.).



Вилучимо з графа  $G$  пофарбовані ребра, внаслідок цього отримаємо граф з парними степенями вершин. Знайдемо вершину  $\bar{x}$  дотику ланцюга  $z \cup \bar{y}$  до підграфа  $G_0$ . Починаючи з вершини  $\bar{x}$ , можна виділити з непофарбованих ребер новий цикл  $G_1$ , що містить ланцюг  $z \cup \bar{y}$  і в поєднанні підграфом  $G_0$  також утворює ойлеровий цикл у графі  $G_1 \cup G_0$ . Нарощуючи вище описаним чином цикли, ми вичерпаємо весь скінчений граф  $G$  ойлеровим циклом. ■

## Лекція 27: Ойлерові цикли

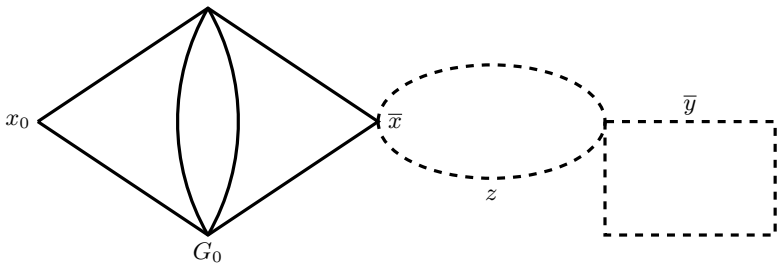
Повернувшись перший раз у вершину  $x_0$ , ми пофарбуємо граф  $G_0$ , який за побудовою є ойлеровим циклом. Якщо  $G_0 \neq G$ , то зі зв'язності графа  $G$  випливає, що існує хоча б одне непофарбоване ребро  $\bar{y}$ , яке з'єднується з підграфом  $G_0$  непофарбованим ланцюгом  $z$ , який, можливо, має нульову довжину (див. рис.).



Вилучимо з графа  $G$  пофарбовані ребра, внаслідок цього отримаємо граф з парними степенями вершин. Знайдемо вершину  $\bar{x}$  дотику ланцюга  $z \cup \bar{y}$  до підграфа  $G_0$ . Починаючи з вершини  $\bar{x}$ , можна виділити з непофарбованих ребер новий цикл  $G_1$ , що містить ланцюг  $z \cup \bar{y}$  і в поєднанні підграфом  $G_0$  також утворює ойлеровий цикл у графі  $G_1 \cup G_0$ . Нарощуючи вище описаним чином цикли, ми вичерпаємо весь скінчений граф  $G$  ойлеровим циклом.

## Лекція 27: Ойлерові цикли

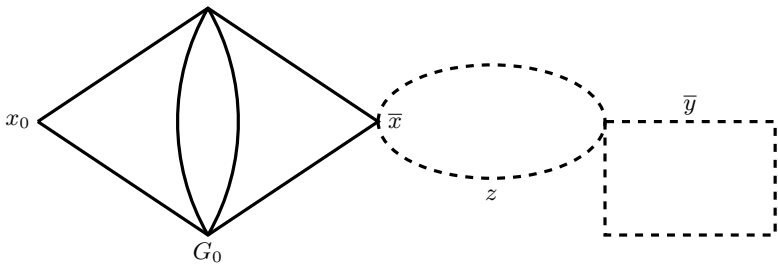
Повернувшись перший раз у вершину  $x_0$ , ми пофарбуємо граф  $G_0$ , який за побудовою є ойлеровим циклом. Якщо  $G_0 \neq G$ , то зі зв'язності графа  $G$  випливає, що існує хоча б одне непофарбоване ребро  $\bar{y}$ , яке з'єднується з підграфом  $G_0$  непофарбованим ланцюгом  $z$ , який, можливо, має нульову довжину (див. рис.).



Вилучимо з графа  $G$  пофарбовані ребра, внаслідок цього отримаємо граф з парними степенями вершин. Знайдемо вершину  $\bar{x}$  дотику ланцюга  $z \cup \bar{y}$  до підграфа  $G_0$ . Починаючи з вершини  $\bar{x}$ , можна виділити з непофарбованих ребер новий цикл  $G_1$ , що містить ланцюг  $z \cup \bar{y}$  і в поєднанні підграфом  $G_0$  також утворює ойлеровий цикл у графі  $G_1 \cup G_0$ . Нарощуючи вище описаним чином цикли, ми вичерпаємо весь скінчений граф  $G$  ойлеровим циклом.

## Лекція 27: Ойлерові цикли

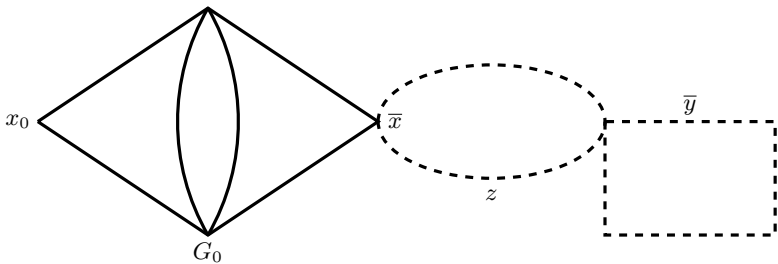
Повернувшись перший раз у вершину  $x_0$ , ми пофарбуємо граф  $G_0$ , який за побудовою є ойлеровим циклом. Якщо  $G_0 \neq G$ , то зі зв'язності графа  $G$  випливає, що існує хоча б одне непофарбоване ребро  $\bar{y}$ , яке з'єднується з підграфом  $G_0$  непофарбованим ланцюгом  $z$ , який, можливо, має нульову довжину (див. рис.).



Вилучимо з графа  $G$  пофарбовані ребра, внаслідок цього отримаємо граф з парними степенями вершин. Знайдемо вершину  $\bar{x}$  дотику ланцюга  $z \cup \bar{y}$  до підграфа  $G_0$ . Починаючи з вершини  $\bar{x}$ , можна виділити з непофарбованих ребер новий цикл  $G_1$ , що містить ланцюг  $z \cup \bar{y}$  і в поєднанні підграфом  $G_0$  також утворює ойлеровий цикл у графі  $G_1 \cup G_0$ . Нарощуючи вище описаним чином цикли, ми вичерпаємо весь скінчений граф  $G$  ойлеровим циклом.

## Лекція 27: Ойлерові цикли

Повернувшись перший раз у вершину  $x_0$ , ми пофарбуємо граф  $G_0$ , який за побудовою є ойлеровим циклом. Якщо  $G_0 \neq G$ , то зі зв'язності графа  $G$  випливає, що існує хоча б одне непофарбоване ребро  $\bar{y}$ , яке з'єднується з підграфом  $G_0$  непофарбованим ланцюгом  $z$ , який, можливо, має нульову довжину (див. рис.).



Вилучимо з графа  $G$  пофарбовані ребра, внаслідок цього отримаємо граф з парними степенями вершин. Знайдемо вершину  $\bar{x}$  дотику ланцюга  $z \cup \bar{y}$  до підграфа  $G_0$ . Починаючи з вершини  $\bar{x}$ , можна виділити з непофарбованих ребер новий цикл  $G_1$ , що містить ланцюг  $z \cup \bar{y}$  і в поєднанні підграфом  $G_0$  також утворює ойлеровий цикл у графі  $G_1 \cup G_0$ . Нарощуючи вище описаним чином цикли, ми вичерпаємо весь скінчений граф  $G$  ойлеровим циклом. ■

## Приклад 3.3.2

Задача китайського листоноші тісно пов'язана з ойлеровими циклами: у графі  $G$ , ребрам якого приписані додатні ваги  $c_j$ , знайти замкнений маршрут  $Q$ , який містить усі ребра  $\{y_j\}_{j=1}^m$ , з мінімальною сумарною

вагою  $\sum_{j=1}^m n_j c_j$ , де  $n_j$  — кількість проходжень ребра  $y_j$  у маршруті  $Q$ .

Для довільного зв'язного графа  $G$  задача китайського листоноші розв'язна, оскільки кількість проходжень ребра  $y_j$  не обмежена одиницею. Якщо граф  $G$  містить ойлеровий цикл, то довільний такий цикл дає розв'язок задачі китайського листоноші: кожне ребро має мінімум

проходжень і вага циклу  $\sum_{j=1}^m n_j c_j$  — мінімальна. Алгоритми розв'язку

задачі китайського листоноші пропонували Беллман і Кук — метод динамічного програмування в окремому випадку, коли  $c_j = 1$  для всіх  $j$ , у загальному випадку — Едмонде, Джонсон, Басакер, Сааті, Крістофідес.

## Приклад 3.3.2

Задача китайського листоноші тісно пов'язана з ойлеровими циклами: у графі  $G$ , ребрам якого приписані додатні ваги  $c_j$ , знайти замкнений маршрут  $Q$ , який містить усі ребра  $\{y_j\}_{j=1}^m$ , з мінімальною сумарною вагою  $\sum_{j=1}^m n_j c_j$ , де  $n_j$  — кількість проходжень ребра  $y_j$  у маршруті  $Q$ .

Для довільного зв'язного графа  $G$  задача китайського листоноші розв'язна, оскільки кількість проходжень ребра  $y_j$  не обмежена одиницею. Якщо граф  $G$  містить ойлеровий цикл, то довільний такий цикл дає розв'язок задачі китайського листоноші: кожне ребро має мінімум проходжень і вага циклу  $\sum_{j=1}^m n_j c_j$  — мінімальна. Алгоритми розв'язку задачі китайського листоноші пропонували Беллман і Кук — метод динамічного програмування в окремому випадку, коли  $c_j = 1$  для всіх  $j$ , у загальному випадку — Едмонде, Джонсон, Басакер, Сааті, Крістофідес.

### Приклад 3.3.2

Задача китайського листоноші тісно пов'язана з ойлеровими циклами: у графі  $G$ , ребрам якого приписані додатні ваги  $c_j$ , знайти замкнений маршрут  $Q$ , який містить усі ребра  $\{y_j\}_{j=1}^m$ , з мінімальною сумарною вагою  $\sum_{j=1}^m n_j c_j$ , де  $n_j$  — кількість проходжень ребра  $y_j$  у маршруті  $Q$ .

Для довільного зв'язного графа  $G$  задача китайського листоноші розв'язна, оскільки кількість проходжень ребра  $y_j$  не обмежена одиницею. Якщо граф  $G$  містить ойлеровий цикл, то довільний такий цикл дає розв'язок задачі китайського листоноші: кожне ребро має мінімум проходжень і вага циклу  $\sum_{j=1}^m n_j c_j$  — мінімальна. Алгоритми розв'язку задачі китайського листоноші пропонували Беллман і Кук — метод динамічного програмування в окремому випадку, коли  $c_j = 1$  для всіх  $j$ , у загальному випадку — Едмонде, Джонсон, Басакер, Сааті, Крістофідес.

### Приклад 3.3.2

Задача китайського листоноші тісно пов'язана з ойлеровими циклами: у графі  $G$ , ребрам якого приписані додатні ваги  $c_j$ , знайти замкнений маршрут  $Q$ , який містить усі ребра  $\{y_j\}_{j=1}^m$ , з мінімальною сумарною вагою  $\sum_{j=1}^m n_j c_j$ , де  $n_j$  — кількість проходжень ребра  $y_j$  у маршруті  $Q$ .

Для довільного зв'язного графа  $G$  задача китайського листоноші розв'язна, оскільки кількість проходжень ребра  $y_j$  не обмежена одиницею. Якщо граф  $G$  містить ойлеровий цикл, то довільний такий цикл дає розв'язок задачі китайського листоноші: кожне ребро має мінімум проходжень і вага циклу  $\sum_{j=1}^m n_j c_j$  — мінімальна. Алгоритми розв'язку задачі китайського листоноші пропонували Беллман і Кук — метод динамічного програмування в окремому випадку, коли  $c_j = 1$  для всіх  $j$ , у загальному випадку — Едмонде, Джонсон, Басакер, Сааті, Крістофідес.

### Приклад 3.3.2

Задача китайського листоноші тісно пов'язана з ойлеровими циклами: у графі  $G$ , ребрам якого приписані додатні ваги  $c_j$ , знайти замкнений маршрут  $Q$ , який містить усі ребра  $\{y_j\}_{j=1}^m$ , з мінімальною сумарною

вагою  $\sum_{j=1}^m n_j c_j$ , де  $n_j$  — кількість проходжень ребра  $y_j$  у маршруті  $Q$ .

Для довільного зв'язного графа  $G$  задача китайського листоноші розв'язна, оскільки кількість проходжень ребра  $y_j$  не обмежена одиницею. Якщо граф  $G$  містить ойлеровий цикл, то довільний такий цикл дає розв'язок задачі китайського листоноші: кожне ребро має мінімум

проходжень і вага циклу  $\sum_{j=1}^m n_j c_j$  — мінімальна. Алгоритми розв'язку

задачі китайського листоноші пропонували Беллман і Кук — метод динамічного програмування в окремому випадку, коли  $c_j = 1$  для всіх  $j$ , у загальному випадку — Едмонде, Джонсон, Басакер, Сааті, Крістофідес.

### Приклад 3.3.2

Задача китайського листоноші тісно пов'язана з ойлеровими циклами: у графі  $G$ , ребрам якого приписані додатні ваги  $c_j$ , знайти замкнений маршрут  $Q$ , який містить усі ребра  $\{y_j\}_{j=1}^m$ , з мінімальною сумарною вагою  $\sum_{j=1}^m n_j c_j$ , де  $n_j$  — кількість проходжень ребра  $y_j$  у маршруті  $Q$ .

Для довільного зв'язного графа  $G$  задача китайського листоноші розв'язна, оскільки кількість проходжень ребра  $y_j$  не обмежена одиницею. Якщо граф  $G$  містить ойлеровий цикл, то довільний такий цикл дає розв'язок задачі китайського листоноші: кожне ребро має мінімум

проходжень і вага циклу  $\sum_{j=1}^m n_j c_j$  — мінімальна. Алгоритми розв'язку

задачі китайського листоноші пропонували Беллман і Кук — метод динамічного програмування в окремому випадку, коли  $c_j = 1$  для всіх  $j$ , у загальному випадку — Едмонде, Джонсон, Басакер, Сааті, Крістофідес.

### Приклад 3.3.2

Задача китайського листоноші тісно пов'язана з ойлеровими циклами: у графі  $G$ , ребрам якого приписані додатні ваги  $c_j$ , знайти замкнений маршрут  $Q$ , який містить усі ребра  $\{y_j\}_{j=1}^m$ , з мінімальною сумарною вагою  $\sum_{j=1}^m n_j c_j$ , де  $n_j$  — кількість проходжень ребра  $y_j$  у маршруті  $Q$ .

Для довільного зв'язного графа  $G$  задача китайського листоноші розв'язна, оскільки кількість проходжень ребра  $y_j$  не обмежена одиницею. Якщо граф  $G$  містить ойлеровий цикл, то довільний такий цикл дає розв'язок задачі китайського листоноші: кожне ребро має мінімум

проходжень і вага циклу  $\sum_{j=1}^m n_j c_j$  — мінімальна. Алгоритми розв'язку

задачі китайського листоноші пропонували Беллман і Кук — метод динамічного програмування в окремому випадку, коли  $c_j = 1$  для всіх  $j$ , у загальному випадку — Едмонде, Джонсон, Басакер, Сааті, Крістофідес.

### Приклад 3.3.2

Задача китайського листоноші тісно пов'язана з ойлеровими циклами: у графі  $G$ , ребрам якого приписані додатні ваги  $c_j$ , знайти замкнений маршрут  $Q$ , який містить усі ребра  $\{y_j\}_{j=1}^m$ , з мінімальною сумарною

вагою  $\sum_{j=1}^m n_j c_j$ , де  $n_j$  — кількість проходжень ребра  $y_j$  у маршруті  $Q$ .

Для довільного зв'язного графа  $G$  задача китайського листоноші розв'язна, оскільки кількість проходжень ребра  $y_j$  не обмежена одиницею. Якщо граф  $G$  містить ойлеровий цикл, то довільний такий цикл дає розв'язок задачі китайського листоноші: кожне ребро має мінімум

проходжень і вага циклу  $\sum_{j=1}^m n_j c_j$  — мінімальна. Алгоритми розв'язку

задачі китайського листоноші пропонували Беллман і Кук — метод динамічного програмування в окремому випадку, коли  $c_j = 1$  для всіх  $j$ , у загальному випадку — Едмонде, Джонсон, Басакер, Сааті, Крістофідес.

### Приклад 3.3.2

Задача китайського листоноші тісно пов'язана з ойлеровими циклами: у графі  $G$ , ребрам якого приписані додатні ваги  $c_j$ , знайти замкнений маршрут  $Q$ , який містить усі ребра  $\{y_j\}_{j=1}^m$ , з мінімальною сумарною

вагою  $\sum_{j=1}^m n_j c_j$ , де  $n_j$  — кількість проходжень ребра  $y_j$  у маршруті  $Q$ .

Для довільного зв'язного графа  $G$  задача китайського листоноші розв'язна, оскільки кількість проходжень ребра  $y_j$  не обмежена одиницею.

Якщо граф  $G$  містить ойлеровий цикл, то довільний такий цикл дає розв'язок задачі китайського листоноші: кожне ребро має мінімум

проходжень і вага циклу  $\sum_{j=1}^m n_j c_j$  — мінімальна. Алгоритми розв'язку

задачі китайського листоноші пропонували Беллман і Кук — метод динамічного програмування в окремому випадку, коли  $c_j = 1$  для всіх  $j$ , у загальному випадку — Едмонде, Джонсон, Басакер, Сааті, Крістофідес.

### Приклад 3.3.2

Задача китайського листоноші тісно пов'язана з ойлеровими циклами: у графі  $G$ , ребрам якого приписані додатні ваги  $c_j$ , знайти замкнений маршрут  $Q$ , який містить усі ребра  $\{y_j\}_{j=1}^m$ , з мінімальною сумарною

вагою  $\sum_{j=1}^m n_j c_j$ , де  $n_j$  — кількість проходжень ребра  $y_j$  у маршруті  $Q$ .

Для довільного зв'язного графа  $G$  задача китайського листоноші розв'язна, оскільки кількість проходжень ребра  $y_j$  не обмежена одиницею. Якщо граф  $G$  містить ойлеровий цикл, то довільний такий цикл дає розв'язок задачі китайського листоноші: кожне ребро має мінімум

проходжень і вага циклу  $\sum_{j=1}^m n_j c_j$  — мінімальна. Алгоритми розв'язку

задачі китайського листоноші пропонували Беллман і Кук — метод динамічного програмування в окремому випадку, коли  $c_j = 1$  для всіх  $j$ , у загальному випадку — Едмонде, Джонсон, Басакер, Сааті, Крістофідес.

### Приклад 3.3.2

Задача китайського листоноші тісно пов'язана з ойлеровими циклами: у графі  $G$ , ребрам якого приписані додатні ваги  $c_j$ , знайти замкнений маршрут  $Q$ , який містить усі ребра  $\{y_j\}_{j=1}^m$ , з мінімальною сумарною

вагою  $\sum_{j=1}^m n_j c_j$ , де  $n_j$  — кількість проходжень ребра  $y_j$  у маршруті  $Q$ .

Для довільного зв'язного графа  $G$  задача китайського листоноші розв'язна, оскільки кількість проходжень ребра  $y_j$  не обмежена одиницею. Якщо граф  $G$  містить ойлеровий цикл, то довільний такий цикл дає розв'язок задачі китайського листоноші: кожне ребро має мінімум

проходжень і вага циклу  $\sum_{j=1}^m n_j c_j$  — мінімальна. Алгоритми розв'язку

задачі китайського листоноші пропонували Беллман і Кук — метод динамічного програмування в окремому випадку, коли  $c_j = 1$  для всіх  $j$ , у загальному випадку — Едмонде, Джонсон, Басакер, Сааті, Крістофідес.

### Приклад 3.3.2

Задача китайського листоноші тісно пов'язана з ойлеровими циклами: у графі  $G$ , ребрам якого приписані додатні ваги  $c_j$ , знайти замкнений маршрут  $Q$ , який містить усі ребра  $\{y_j\}_{j=1}^m$ , з мінімальною сумарною

вагою  $\sum_{j=1}^m n_j c_j$ , де  $n_j$  — кількість проходжень ребра  $y_j$  у маршруті  $Q$ .

Для довільного зв'язного графа  $G$  задача китайського листоноші розв'язна, оскільки кількість проходжень ребра  $y_j$  не обмежена одиницею. Якщо граф  $G$  містить ойлеровий цикл, то довільний такий цикл дає розв'язок задачі китайського листоноші: кожне ребро має мінімум

проходжень і вага циклу  $\sum_{j=1}^m n_j c_j$  — мінімальна. Алгоритми розв'язку

задачі китайського листоноші пропонували Беллман і Кук — метод динамічного програмування в окремому випадку, коли  $c_j = 1$  для всіх  $j$ , у загальному випадку — Едмонде, Джонсон, Басакер, Сааті, Крістофідес.

### Приклад 3.3.2

Задача китайського листоноші тісно пов'язана з ойлеровими циклами: у графі  $G$ , ребрам якого приписані додатні ваги  $c_j$ , знайти замкнений маршрут  $Q$ , який містить усі ребра  $\{y_j\}_{j=1}^m$ , з мінімальною сумарною

вагою  $\sum_{j=1}^m n_j c_j$ , де  $n_j$  — кількість проходжень ребра  $y_j$  у маршруті  $Q$ .

Для довільного зв'язного графа  $G$  задача китайського листоноші розв'язна, оскільки кількість проходжень ребра  $y_j$  не обмежена одиницею. Якщо граф  $G$  містить ойлеровий цикл, то довільний такий цикл дає розв'язок задачі китайського листоноші: кожне ребро має мінімум

проходжень і вага циклу  $\sum_{j=1}^m n_j c_j$  — мінімальна. Алгоритми розв'язку

задачі китайського листоноші пропонували Беллман і Кук — метод динамічного програмування в окремому випадку, коли  $c_j = 1$  для всіх  $j$ , у загальному випадку — Едмонде, Джонсон, Басакер, Сааті, Крістофідес.

### Приклад 3.3.2

Задача китайського листоноші тісно пов'язана з ойлеровими циклами: у графі  $G$ , ребрам якого приписані додатні ваги  $c_j$ , знайти замкнений маршрут  $Q$ , який містить усі ребра  $\{y_j\}_{j=1}^m$ , з мінімальною сумарною

вагою  $\sum_{j=1}^m n_j c_j$ , де  $n_j$  — кількість проходжень ребра  $y_j$  у маршруті  $Q$ .

Для довільного зв'язного графа  $G$  задача китайського листоноші розв'язна, оскільки кількість проходжень ребра  $y_j$  не обмежена одиницею. Якщо граф  $G$  містить ойлеровий цикл, то довільний такий цикл дає розв'язок задачі китайського листоноші: кожне ребро має мінімум

проходжень і вага циклу  $\sum_{j=1}^m n_j c_j$  — мінімальна. Алгоритми розв'язку

задачі китайського листоноші пропонували Беллман і Кук — метод динамічного програмування в окремому випадку, коли  $c_j = 1$  для всіх  $j$ , у загальному випадку — Едмонде, Джонсон, Басакер, Сааті, Крістофідес.

### Приклад 3.3.2

Задача китайського листоноші тісно пов'язана з ойлеровими циклами: у графі  $G$ , ребрам якого приписані додатні ваги  $c_j$ , знайти замкнений маршрут  $Q$ , який містить усі ребра  $\{y_j\}_{j=1}^m$ , з мінімальною сумарною

вагою  $\sum_{j=1}^m n_j c_j$ , де  $n_j$  — кількість проходжень ребра  $y_j$  у маршруті  $Q$ .

Для довільного зв'язного графа  $G$  задача китайського листоноші розв'язна, оскільки кількість проходжень ребра  $y_j$  не обмежена одиницею. Якщо граф  $G$  містить ойлеровий цикл, то довільний такий цикл дає розв'язок задачі китайського листоноші: кожне ребро має мінімум

проходжень і вага циклу  $\sum_{j=1}^m n_j c_j$  — мінімальна. Алгоритми розв'язку

задачі китайського листоноші пропонували Беллман і Кук — метод динамічного програмування в окремому випадку, коли  $c_j = 1$  для всіх  $j$ , у загальному випадку — Едмонде, Джонсон, Басакер, Сааті, Крістофідес.

## Лекція 27: Ойлерові цикли

Застосування задачі китайського листоноші досить численні. Наприклад, це мінімізовані за довжиною пробігу транспортні задачі обслуговування споживачів у кожному ребрі на заданій мережі доріг (доставка пошти, продуктів та інших вантажів) чи інспекції кожного відрізу в мережі розподілених систем (електричних, телефонних, транспортних) та ін.

Застосування задачі китайського листоноші досить численні. Наприклад, це мінімізовані за довжиною пробігу транспортні задачі обслуговування споживачів у кожному ребрі на заданій мережі доріг (доставка пошти, продуктів та інших вантажів) чи інспекції кожного відрізу в мережі розподілених систем (електричних, телефонних, транспортних) та ін.

Застосування задачі китайського листоноші досить численні. Наприклад, це мінімізовані за довжиною пробігу транспортні задачі обслуговування споживачів у кожному ребрі на заданій мережі доріг (доставка пошти, продуктів та інших вантажів) чи інспекції кожного відрізу в мережі розподілених систем (електричних, телефонних, транспортних) та ін.

Застосування задачі китайського листоноші досить численні. Наприклад, це мінімізовані за довжиною пробігу транспортні задачі обслуговування споживачів у кожному ребрі на заданій мережі доріг (доставка пошти, продуктів та інших вантажів) чи інспекції кожного відрізу в мережі розподілених систем (електричних, телефонних, транспортних) та ін.

Застосування задачі китайського листоноші досить численні. Наприклад, це мінімізовані за довжиною пробігу транспортні задачі обслуговування споживачів у кожному ребрі на заданій мережі доріг (доставка пошти, продуктів та інших вантажів) чи інспекції кожного відрізу в мережі розподілених систем (електричних, телефонних, транспортних) та ін.

Застосування задачі китайського листоноші досить численні. Наприклад, це мінімізовані за довжиною пробігу транспортні задачі обслуговування споживачів у кожному ребрі на заданій мережі доріг (доставка пошти, продуктів та інших вантажів) чи інспекції кожного відрізу в мережі розподілених систем (електричних, телефонних, транспортних) та ін.

Дякую за увагу!!!

Дякую за увагу!!!